

بررسی خواص نفوذپذیری گاز دیاکسید کربن تحت فشار بالا در لاستیک NBR

سعید قلتاشی^{*}, علی دشتی^{**}

گروه مهندسی شیمی، دانشکده مهندسی، دانشگاه فردوسی مشهد

آزمایشگاه تحقیقاتی آزمون های قطعات پلیمری، پژوهشکده نفت و گاز، دانشگاه فردوسی مشهد

^{*}درس پست الکترونیک نویسنده ارائه کننده saeedgh7394@yahoo.com

^{*}درس پست الکترونیک نویسنده مسئول مکاتبات dashti@um.ac.ir

چکیده

در این پژوهش، نفوذپذیری گاز دیاکسید کربن (CO_2) در فشار بالا برای نمونه های لاستیکی NBR مورد بررسی قرار گرفت. برای نخستین بار، دستگاه نفوذپذیری گاز در لاستیک ها تحت فشار و دمای بالا (HPHT) طراحی و ساخته شد. خواص فیزیکی-مکانیکی نمونه های ولکانیده شامل سختی، ازدیاد طول، استحکام کششی، استحکام پارگی و دانسیته اتصالات عرضی برای دو نوع سامانه پخت گوگردی موثر (EV) و معمولی (CV) اندازه گیری شد. آزمون نفوذپذیری در فشار ۵۰ بار و دمای محیط به مدت ۲۴ ساعت صورت گرفت. نتایج نشان داد نمونه های لاستیکی ولکانیده با سامانه EV دارای نفوذپذیری حدود ۲ برابر بیش از سامانه CV بود که با میزان دانسیته اتصالات عرضی کمتر در این نمونه ها تطابق داشت. همچنین ارتباط دانسیته اتصالات عرضی با خواص فیزیکی-مکانیکی مطابق انتظار پیش رفت، به نحوی که افزایش دانسیته اتصال عرضی موجب افزایش سختی، کاهش ازدیاد طول و کاهش استحکام پارگی در نمونه های لاستیکی ولکانیده گردید.

واژه های کلیدی: لاستیک NBR، پخت گوگردی، نفوذپذیری دیاکسید کربن، دانسیته اتصالات عرضی.

- ۱ مقدمه

موضوع نفوذپذیری گاز درون ساختار شبکه لاستیکی از مباحث مهم و کاربردی در زمینه آب بندی و درز گیری محصولات لاستیکی در صنعت نفت و گاز، نفوذ ناپذیری لایه داخلی تایر خودرو و عدم نشت شیلنگ های انتقال سوخت هواییما می باشد. هنگامی که قطعه لاستیکی در معرض محیط گازی تحت فشار و دما قرار می گیرد، دو

۱- دانشجوی کارشناسی ارشد مهندسی شیمی دانشگاه فردوسی مشهد

۲- دانشیار گروه مهندسی شیمی دانشگاه فردوسی مشهد

پدیده نفوذ گاز و حلایت همزمان مورد توجه است که ارتباط زیادی با ساختار و خواص شبکه لاستیک دارد. نفوذ گاز درون لاستیک سبب کاهش طول عمر و افت خواص فیزیکی-مکانیکی قطعه می‌شود. نفوذپذیری به عوامل زیادی بستگی دارد از جمله نوع و ویژگی‌های گاز، نوع الاستومر پایه، حجم آزاد و انعطاف پذیری زنجیرها، برهمکنش‌های بین مولکولی، ماهیت شبکه لاستیکی و میزان اتصالات عرضی، ویژگی‌های پرکننده، دما، فشار و سایر عوامل [۱-۳]. مدل‌های مختلفی برای پیش‌بینی نفوذپذیری گاز درون لاستیک بر پایه حجم آزاد و یا وابستگی به پارامترهای عملیاتی نظیر دما ارائه شده که در این میان مدل زمان تاخیر دینز کاربرد بیشتری برای اندازه‌گیری نفوذپذیری دارد [۴-۵]. لاستیک اکریلو نیتریل بوتادین (NBR) یکی از پرکاربردترین الاستومرها در صنعت نفت و گاز به شمار می‌آید. لاستیک NBR از نفوذپذیری پایین تری نسبت به NR و SBR برخوردار است. ناه و همکاران [۶] نشان دادند که با استفاده از نانوذرات رس اصلاح شده در مقدار کم خواص نفوذپذیری لاستیک NBR به مقدار قابل توجهی کاهش پیدا می‌کند. کیم و همکاران [۷] نفوذپذیری بخار آب را در لاستیک NBR تحت فشار پایین مورد بررسی قرار دادند و نشان دادند که استفاده از سیلان و نانو ذرات رس اصلاح شده نفوذپذیری را کاهش می‌دهد. بهاتاچاریا و همکاران [۸] نفوذپذیری گاز CO_2 در الاستومر SBR را انجام دادند. نتایج نشان داد که هر چه اندرکنش بین فیلر و رابر بهتر صورت پذیرد، حجم آزاد کمتری برای نفوذ گاز وجود دارد و نفوذپذیری کاهش می‌یابد. ماریا و همکاران [۹] نفوذپذیری دو گاز CO_2 و O_2 را در فشار پایین بر روی الاستومر NBR بررسی کردند و نشان دادند که با افزودن نانو رس و ترکیب الاستومر NR با NBR همواره با کاهش نفوذپذیری همراه است.

تاکنون تاثیر نوع سامانه پخت بر روی خواص نفوذپذیری گاز دی اکسید کربن در فشار بالا برای نمونه‌های لاستیکی NBR بررسی نشده است. در این پژوهش، برای اولین بار از دستگاه تست نفوذپذیری دما و فشار بالا (HPHT) استفاده شده است و اثر نوع سامانه پخت بر دانسته اتصالات عرضی، خواص نفوذپذیری و همچنین خواص فیزیکی-مکانیکی مورد مطالعه قرار گرفت.

۲- روش تجربی

۱- مواد و آمیزه کاری

در این پژوهش از لاستیک NBR از نوع KNB 35L شرکت Kumho، اکسید روی از شرکت شکوهیه قم به عنوان فعال کننده، همچنین از دوده N330 پارس به عنوان پرکننده استفاده شد. مواد دیگر مانند اسید استئاریک، آنتی اکسیدان(IPPD)، نرم کننده (DOP)، گوگرد و شتاب‌دهنده‌ها(TMTD و CBS) از شرکت‌های لاستیک‌سازی داخلی تهیه گردید. برای تهیه آمیزه NBR از دستگاه غلطک دو میله ای آزمایشگاهی استفاده شد. دمای اختلاط آمیزه‌ها از ۲۵-۵۵ درجه سانتی گراد بود. اجزای فرمولاسیون و میزان مصرف مواد افزودنی در جدول

**هفدهمین کنگره ملی مهندسی شیمی
۱۶ الی ۱۸ شهریور ۱۴۰۰ - دانشگاه فردوسی مشهد**

۱ آورده شده است. اجزای آمیزه به جز سامانه پخت ثابت بوده‌اند. فرایند پخت آمیزه‌ها از نوع فشاری و در پرس هیدرولیک آزمایشگاهی صورت گرفت. برای تعیین زمان ایمنی و پخت بهینه از نمونه‌ها از رئومتر SMD-200B سنتام استفاده شد. شیت‌های لاستیکی در دمای ۱۶۰ درجه سانتی‌گراد و فشار ۱۲۰ بار پخت شد.

جدول ۱: فرمولاسیون آمیزه‌های لاستیکی NBR در پژوهش حاضر

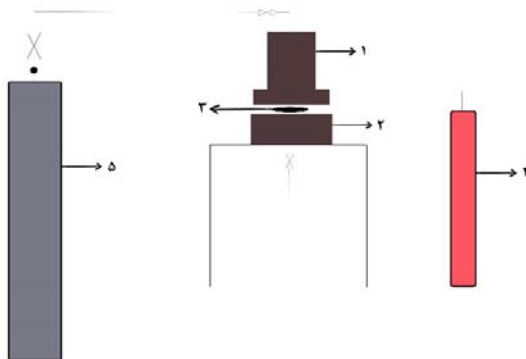
TMTD	CBS	S	IPPD	N330	DOP	Stearic acid	ZnO	آمیزه
۲	۱	۰/۵	۱	۷۰	۵	۱	۵	سامانه EV
۰/۵	۰/۵	۲	۱	۷۰	۵	۱	۵	سامانه CV

۲-۲- اندازه گیری خواص فیزیکی-مکانیکی و نفوذپذیری گاز

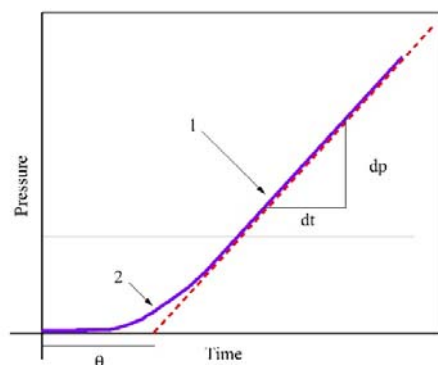
برای اندازه گیری خواص فیزیکی-مکانیکی مثل ازدیاد طول، استحکام کششی و استحکام پارگی از دستگاه کشش سنتام و همچنین جهت اندازه گیری سختی نمونه‌ها از دستگاه سختی سنج shore A استفاده شد. STM-20 آزمون‌های استحکام کششی، استحکام پارگی و سختی به ترتیب براساس استانداردهای ASTM-D412، ASTM-D2240، D624 استاندارد ۱۴ ASTM-D6814 استفاده گردید. مقدار ۰/۵ گرم از لاستیک ولکانیده به مدت ۳ روز در حلال تولوئن قرار داده شد و بعد از آن جهت خشک کردن به مدت ۱۸ ساعت در آون با دمای ۱۰۰ درجه سانتی‌گراد قرار داده شد. مقدار نهایی اتصالات عرضی از رابطه فلوری-رینر محاسبه گردید. تمامی خواص فیزیکی-مکانیکی نمونه‌های لاستیکی در آزمایشگاه آزمون‌های قطعات پلیمری دانشگاه فردوسی مشهد انجام شد.

آزمون نفوذپذیری توسط دستگاه دوکاره تست نفوذ و تخریب گاز که برای اولین بار در کشور طراحی و ساخته شده است، اندازه گیری شد. دستگاه مذکور مخصوص نمونه‌های لاستیکی و تحت شرایط دما و فشار بالا (HPHT) کار می‌کند. دستگاه نفوذپذیری نشان داده شده در شکل ۱ برای انجام آزمایش نفوذپذیری براساس روش حجم ثابت / فشار متغیر طراحی شده است. این دستگاه نفوذپذیری شامل دو محفظه گاز با حجم ثابت است که توسط نمونه مورد آزمایش از هم جدا می‌شوند. گاز با فشار بالا به محفظه گاز بالا دست (محفظه فشار بالا) وارد می‌شود. سپس مولکول‌های گاز از طریق نمونه مورد آزمایش به محفظه پایین دست (محفظه کم فشار) منتقال می‌یابد. آزمون نفوذپذیری نمونه‌ها مطابق استاندارد ISO-2782 در دمای محیط و فشار ۵۰ بار در زمان ۲۴ ساعت انجام شد. برای این منظور نمونه‌هایی دایره‌ای شکل با ابعاد مشخص (قطر ۶ سانتی‌متر و ضخامت ۲ میلی‌متر) استفاده شد و همچین تمام محاسبات نفوذپذیری بر اساس نمودار بدست آمده از آزمون نفوذپذیری انجام شد.

نمودار حاصل از آزمون نفوذپذیری آن در شکل ۲ آورده شده است. محاسبات بر اساس شیب نمودار در در حالت پایدار صورت گرفته است.



شکل ۱: شماتیک دستگاه نفوذپذیری گاز در لاستیک (۱-محفظه حجم ثابت ۲-محفظه حجم متغیر ۳-نمونه مورد آزمایش ۴-مانومتر اندازه گیری فشار ۵-کپسول گاز CO_2)



شکل ۲- شماتیک نمودار نفوذپذیری (۱-ناحیه پایدار با شیب ثابت ۲-ناحیه ناپایدار)

۳- نتایج و بحث

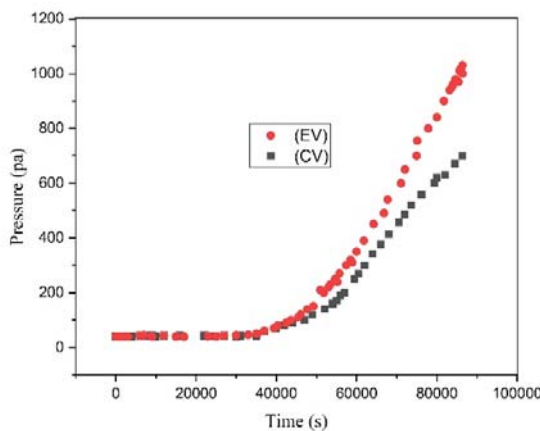
در جدول ۲، خواص فیزیکی-مکانیکی و دانسیته اتصالات عرضی برای دو سامانه پخت گوگردی گزارش شده است.

جدول ۲: خواص فیزیکی-مکانیکی و دانسیته اتصال عرضی نمونه های لاستیکی NBR

10^6 mol/cm^3	استحکام پارگی KN/m	استحکام کششی MPa	ازدیاد طول %	سختی Shore A	آمیزه
۵۶۴	۴۹	۱۹	۲۴۱	۷۳	EV
۷۷۹	۲۹	۱۸	۱۴۵	۷۸	CV

میزان کیفی اتصالات عرضی تشکیل شده به نوع سامانه پخت بستگی دارد. نوع اتصالات عرضی تشکیل شده در سامانه پخت EV غالباً از نوع مونوسولفیدی است، اما در سامانه پخت CV به خاطر وجود گوگرد بیشتر اتصالات عرضی بیشتر از نوع پلی سولفیدی و دی سولفیدی می‌باشد. مطابق داده‌های جدول ۲، با افزایش دانسیته اتصالات عرضی تحرک زنجیره‌های الاستومر کاهش و تمرکز تنش در زنجیره‌ها افزایش یافته که نتیجه آن افزایش سختی و کاهش ازدیاد طول و استحکام پارگی آمیزه است.

در شکل ۲ نمودار نفوذپذیری دو نمونه نشان داده شده است. همچنین در جدول ۳، خواص نفوذپذیری گاز دی اکسید کربن تحت فشار بالا برای نمونه‌های لاستیکی NBR گزارش شده است. در سامانه پخت CV دانسیته اتصالات عرضی تشکیل شده به خاطر پیوندهای مونو، دی و پلی‌سولفیدی افزایش یافته و به تبع آن حجم آزاد و برهمکنش گاز با الاستومر کاهش پیدا می‌کند و نتیجه آن کم شدن فضای براحتی نفوذ گاز درون الاستومر است.



شکل ۲: تاثیر نوع سامانه پخت بر نفوذپذیری گاز CO_2 در لاستیک NBR در دمای محیط و فشار ۵۰ با ر به همین دلیل برای کاهش نفوذپذیری گاز در الاستومرها باید اتصال‌های عرضی در آنها به خوبی ایجاد شده باشد. در نتیجه نفوذپذیری گازها در الاستومرها با افزودن بیشتر مقدار گوگرد و شتابدهنده کاهش می‌یابد. در سامانه EV شب نمودار نفوذپذیری تندتر و مقدار نفوذپذیری بعد از ۲۴ ساعت بیشتر از سامانه CV بوده است.

جدول ۳: داده‌های نفوذپذیری گاز CO_2 تحت فشار بالا در نمونه‌های ولکانیده NBR

آمیزه	ضریب نفوذپذیری $\frac{\text{mol}}{\text{m}^2 \cdot \text{s} \cdot \text{Pa}}$	نرخ نفوذپذیری $\frac{\text{mol} \cdot \text{m}}{\text{m}^2 \cdot \text{s} \cdot \text{Pa}} \times 10^{14}$	ضریب نفوذ $\frac{\text{m}^2}{\text{s}} \times 10^9$	ضریب حلایت $\frac{\text{mol}}{\text{m}^3 \cdot \text{Pa}} \times 10^{-4}$	افزایش فشار در طول ۲۴ ساعت (Pa)
EV	۱/۴	۶/۷	۱/۳	۹/۴	۱۰۲۴
CV	۰/۷۵	۳/۴	۱/۷	۴/۱	۶۸۰

۴- نتیجه گیری

در این پژوهش، برای نخستین بار تاثیر نوع سامانه پخت لاستیک NBR و دانسیته اتصالات عرضی بر روی خواص نفوذپذیری گاز CO_2 در فشار بالا و دمای محیط به مدت ۲۴ ساعت و خواص فیزیکی-مکانیکی بررسی شد. نتیجه ها نشان می دهد که نوع سامانه پخت بر نوع و مقدار دانسیته اتصالات عرضی تاثیر مستقیم دارد. هرچه مقدار گوگرد و گوگرددنه بیشتر باشد دانسیته اتصالات عرضی بالاتر رفته و الاستومر ولکانیده شده سخت تر می شود. سخت تر شدن الاستومر باعث می شود که خواص فیزیکی-مکانیکی مثل ازدیاد طول و استحکام پارگی کاهش یابد. همچنین مقدار دانسیته اتصالات عرضی نقش تعیین کننده ای در حلالیت، ضریب نفوذپذیری و نرخ نفوذپذیری گازها در الاستومر دارد. هر چه نمونه دانسیته بالاتر باشد حجم آزاد و تحرک زنجیره های الاستومر کاهش می یابد که باعث می شود نرخ نفوذ و ضریب نفوذپذیری کم شود. البته مقدار دانسیته برای کاهش نفوذپذیری یک حد بهینه دارد که در این پژوهش دانسیته اتصالات عرضی در حد بهینه بوده است. به نظر می رسد نوع اتصالات عرضی تاثیر کمتری بر پدیده نفوذپذیری دارد، که در این زمینه تحقیقات بیشتری لازم است صورت پذیرد.

مراجع

- [1] Yang, X., LK A. Schneider, U. Giese, and R. H. Schuster. "Characterization of Permeability of Elastomers Part II: NBR/Micro and Nano-Composites." KGK. Kautschuk, Gummi, Kunststoffe 63, no. 11 (2010): 496-505.
- [2] Comyn, J. (Ed.), Polymer permeability, Springer Science & Business Media, 1985.
- [3] Brydson, J. A. (Ed.), Rubbery materials and their compounds. springer, 1988.
- [4] Alentiev, A. Yu, and Yu P. Yampolskii. "Free volume model and tradeoff relations of gas permeability and selectivity in glassy polymers." Journal of Membrane Science 165, no. 2 (2000): 201-216.
- [5] Boldyrev, Oleg, Igor Beckman, and Vladimir Teplyakov. "Prediction of gas permeability of polymer membrane materials using an improved empirical statistical method." Desalination (Amsterdam) 200, no. 1-3 (2006): 40-41.
- [6] Nah, C., H. J. Ryu, W. D. Kim, and Sung-Seen Choi. "Barrier property of clay/Acrylonitrile-butadiene copolymer nanocomposite." Polymers for Advanced Technologies 13, no. 9 (2002): 649-652.
- [7] Kim, J., T. Oh, and D. Lee. "Curing and barrier properties of NBR/organo-clay nanocomposite." Polymer international 53, no. 4 (2004): 406-411.
- [8] Bhattacharya, M., S. Biswas, and Anil K. Bhowmick. "Permeation characteristics and modeling of barrier properties of multifunctional rubber nanocomposites." Polymer 52, no. 7 (2011): 1562-1576.
- [9] Maria, H. J. et al. "Gas Barrier, Rheological and Mechanical Properties of Immiscible Natural Rubber/Acrylonitrile Butadiene Rubber/Organoclay (NR/NBR/Organoclay) Blend Nanocomposites." Materials 13, no. 11 (2020): 2654.

Investigation of Carbon Dioxide Gas Permeability of NBR Rubber at High Pressure

Saeed Gholtashi, Ali Dashti*

Department of Chemical Engineering, Faculty of Engineering, Ferdowsi University of Mashhad, Mashhad, Iran
Research Laboratory of Polymer Testing (RPT Lab.), Research Institute of Oil & Gas, Ferdowsi University of Mashhad, Mashhad, Iran

Presentor E-mail: saeedgh7394@yahoo.com

*Corresponding Author E-mail: dashti@um.ac.ir

Abstract

In this study, the permeability of carbon dioxide (CO_2) gas at high pressure was investigated for NBR vulcanizates. For the first time, the set-up for gas permeability of rubbers at high pressure and high temperature elastomers (HPHT) was designed and manufactured. Physico-mechanical properties of vulcanized samples including hardness, elongation at break, tensile strength, tear strength and crosslink density were measured for two types of effictive sulfur (EV) and conventional (CV) curing systems. The CO_2 permeability test was performed at 50 bar pressure and ambient temperature for 24 hours. The results showed that the vulcanized rubber samples with EV system had about 2 times more permeability than the CV system ones, due to their lower crosslinking density values. Also, the relationship between crosslinking density and physical-mechanical properties was as expected, so that by increasing the crosslinking density the hardness was increased and elongation tear strength were decreased in NBR samples.

Keywords: NBR rubber, Sulfur curing, CO_2 permeability, Crosslink density.